



ارزیابی مدل‌های احتراقی در احتراق محیط متخلخل با نسبت هوای اضافی مختلف

ایمان محمدی، حسین عجم*

دانشکده مهندسی مکانیک، دانشگاه فردوسی مشهد، ایران

تاریخچه داوری:

دریافت: ۱۳۹۷-۱۱-۰۸

بازنگری: ۱۳۹۷-۱۲-۲۱

پذیرش: ۱۳۹۸-۰۲-۱۵

ارائه آنلاین: ۱۳۹۸-۰۲-۲۰

کلمات کلیدی:

مشعل محیط متخلخل

سینتیک شیمیایی

تخلخل متغیر پیوسته

احتراق مقارن محور

نسبت هوای اضافی

خلاصه: در این مقاله به بررسی همزمان اثرات نسبت هوای اضافی و مکانیزم‌های احتراقی بر روی دما و انتشار گونه‌ها در مشعل‌های محیط متخلخل با تغییر تخلخل پیوسته پرداخته شده است. برای این هدف از سینتیک‌های چند مرحله‌ای استفاده شده است و اثرات آن‌ها بر روی پروفیل دما، کسر جرمی گونه‌های اصلی و انتشار آلاینده‌ها برای مقادیر مختلف نسبت هوای اضافی مورد بررسی قرار گرفته است. معادلات حاکم بر مسئله شامل معادله پیوستگی، معادلات مومنتوم، معادلات انرژی فاز گاز و جامد و معادله بقاء گونه‌های شیمیایی با استفاده از روش حجم محدود حل شده و از الگوریتم سیمپل برای ارتباط بین سرعت و فشار استفاده شده است. نتایج نشان داد که به ازای نسبت هوای اضافی ۱/۵، نتایج ناشی از مکانیزم‌های احتراقی دارای دقت یکسان در پیش‌بینی پروفیل دما و کسر جرمی گونه‌های اصلی هستند و بعد از آن برای مقادیر بیشتر نسبت هوای اضافی نتایج ناشی از مکانیزم‌های احتراقی اختلاف کمی را نشان می‌دهد. این در حالی است که بیشترین اختلاف در نتایج برای حالت استوکیومتری مشاهده می‌شود. همچنین در شرایط استوکیومتری میزان انتشار مونو اکسید نیتروژن با استفاده از مکانیزم احتراقی GRI-۳/۰ مقدار صفر پیش‌بینی می‌شود و برای بقیه ضرایب نسبت هوای اضافی مقدار آن از مرتبه بزرگی خواهد بود.

را به وجود می‌آورند، بسیار پیچیده می‌شود. بنابراین در این زمینه بسیاری از کارهای تحقیقاتی که انجام شده است، از واکنش‌های تک مرحله‌ای و یا مدل کردن فرآیند واکنشی احتراقی به عنوان یک منبع تولید حرارت، استفاده شده است. سینتیک تک مرحله‌ای قطعاً نتیجه دلخواه و دقت کافی را نخواهد داشت. همچنین این مکانیزم قادر نخواهد بود که پروفیل دمایی دقیقی ایجاد نماید و نیز به علت عدم وجود واکنش‌های غیر کاملی که منجر به تشکیل کربن مونو اکسید^۱ و مونو اکسید نیتروژن^۲ می‌شود، قادر به پیش‌بینی میزان این آلاینده‌ها نخواهد بود. به همین دلیل غیر ممکن خواهد بود تا از الگوی ساده سینتیک شیمیایی که بتواند واکنش‌های موجود را به

۱- مقدمه
در شبیه سازی فرآیند احتراق باید تمامی واکنش‌های احتمالی که در حین فرآیند به وجود می‌آیند و اجزایی را تشکیل می‌دهند، در نظر گرفته شوند. یکی از اساسی‌ترین مشکلاتی که در مورد استفاده از جزئیات مکانیزم واکنش وجود دارد محدود بودن تعداد محاسباتی است که به هنگام شبیه سازی یک نمونه واقعی بدلیل نبود نظم خاصی در قرارگیری حفره‌ها و حرکت چند بعدی سیال در داخل آن‌ها و تغییر غلظت و دمای آن و همچنین ضرایب نامشخص انتقال حرارت مؤثر جابجایی و تشعشع، به وجود می‌آید. علاوه بر این مدل کردن احتراق در داخل ماده متخلخل به دلیل وجود ترم تشعشع غیر خطی و انتقال حرارت جابجایی بین فاز گاز و جامد که معادلات پیچیده‌ای

۱ - Monoxide Carbon (CO)

2 - Monoxide Oxygen (NO)

* نویسنده عهده‌دار مکاتبات: h.ajam@um.ac.ir

حقوق مؤلفین به نویسنده‌گان و حقوق ناشر به انتشارات دانشگاه امیرکبیر داده شده است. این مقاله تحت لیسانس آفرینندگی مردمی (Creative Commons License) در دسترس شما قرار گرفته است. برای جزئیات این لیسانس، از آدرس <https://www.creativecommons.org/licenses/by-nc/4.0/legalcode> دیدن فرمائید.



از ورودی برای مقادیر طول مشخصه (قطر حفره ریزتر) اتفاق می‌افتد و همچنین ماكزييم دمای جامد برای مقادیر بزرگتر ضریب جذب، بیشتر می‌باشد. لاری^۸، به آنالیز حرارتی مشعل‌های متخلخل در حالت گذرا با استفاده از مدل دو شارحرارتی پرداخت و اثر پارامترهای مختلف بر عملکرد سیستم را مورد مطالعه قرار داد. حسین پور و حدادی^۹، اثرات پارامترهای کوره متخلخل را ببروی احتراق و تشکیل آلاینده‌ها با استفاده از یک مدل یک بعدی و سینتیک چند مرحله‌ای را بررسی نمودند. آودیک^{۱۰} و همکاران^[۱۱]، به مطالعه تجربی احتراق در یک محیط متخلخل برای مصارف خانگی پرداختند. آن‌ها نشان دادند که استفاده از مشعل متخلخل می‌تواند توان حرارتی را تا ۸ برابر مشعل‌های معمولی افزایش دهد و مقادیر CO و NO_x را کاهش دهد. بیدی^{۱۲} و همکاران^[۱۳]، به بررسی عددی پایداری شعله و بهینه سازی مشعل از نظر تولید آنتروپی پرداخته‌اند. آن‌ها مشاهده کردند که شعله بیشتر در نیمه بالادست محیط متخلخل پایدار می‌شود و تولید آلاینده‌گی در این حالت کمتر از وقتی است که شعله در نیمه پایین دست جریان پایدار می‌شود. پانتانگی^{۱۴} و همکاران^[۱۵]، اقدام به ساخت یک مشعل دو لایه کردند که در کار پانتانگی ناحیه پیش گرمایش توسط توب‌های آلومینیومی ۵ میلیمتری و ناحیه احتراق از سیلیکون کاربید با ۹۰ درصد تخلخل و در کار ماتکومار ناحیه پیش گرمایش از سرامیکی با ضخامت ۱۰ میلیمتر و تخلخل ۴۰ درصد و ناحیه احتراقی مشابه تشکیل شده بود. آن‌ها تأثیر قطر مشعل، ضخامت جدار قالب مشعل و طول قالب‌های متخلخل را مورد آنالیز قرار دادند و دریافتند که این تغییر در ناحیه پیش گرمایش سبب افزایش راندمان می‌گردد. محمدی و حسین‌پور^[۱۶]، به بررسی اثرات مکانیزم‌های شیمیایی و دمای دیواره بر روی عملکرد مشعل‌های محیط متخلخل با تخلخل ثابت در دو ناحیه‌ی پیش گرمایش و احتراقی پرداختند. آن‌ها دریافتند که مکانیزم‌های شیمیایی تأثیر چندانی بر روی پروفیل دمایی نخواهد داشت و هر چه مکانیزم‌های شیمیایی کامل ترمی شود میزان انتشار آلاینده مونو اکسید نیتروژن به مقادیر آزمایشگاهی نزدیک‌تر می‌گردد. آن‌ها همچنین دریافتند که با افزایش دمای دیواره مقدار ماكزييم

صورت تعداد کمی از اجزا بیان کند، استفاده کنیم. توسعه و بهینه سازی مشعل‌های محیط متخلخل مستلزم شبیه سازی های تجربی و عددی است که شبیه سازی آزمایشگاهی (تجربی) نیازمند صرف وقت و هزینه خواهد بود. همچنین در اندازه گیری‌های آزمایشگاهی، دقت اندازه‌گیری و تنوع بسیار محدود می‌باشد. لذا این دلایل لزوم استفاده از بررسی‌های عددی را به خوبی نشان می‌دهد.

برینر^[۱۷] و همکاران با لحاظ یک سیستم دو بعدی همراه با در نظر گرفتن پدیده احتراق با حل معادلات حاکم، مشخصه‌های حرارتی مشعل‌های متخلخل را تعیین نمودند. در این مطالعه از هیچ مدلی جهت تعیین شار تشعشعی در داخل مشعل استفاده نگردید. نتایج تطابق خوبی را بین داده‌های تجربی و حل عددی نشان داد. مالیکو^{۱۸} و پریرا^[۱۹] تأثیر خواص تشعشعی محیط‌های متخلخل را بر عملکرد مشعل‌های متخلخل استوانه‌ای شکل در حالت دو بعدی مورد بررسی قرار دادند. آن‌ها دریافتند اگر از تشعشع صرف‌نظر شود پروفیل دمای پیش بینی شده با مقدار آزمایش تطابق خوبی نمی‌یابد. چانگ جن^{۲۰} [۲۰] از یک مدل عددی یک بعدی برای بررسی اثرات افروزن هیدروژن بر روی احتراق متان^{۲۱} در یک کوره متخلخل استفاده نمود. وی دریافت که با افزایش هیدروژن در سوخت ضخامت شعله کاهش خواهد یافت. تالاکدر^{۲۲} و همکاران^[۲۳]، رفتار حرارتی مشعل‌های متخلخل را در دو حالت کارکرد دائم و گذرا با در نظر گرفتن یک سیستم دو بعدی مورد بررسی قرار دادند. در این مطالعه اثرات نشر انرژی تشعشعی توسط محیط متخلخل نیز مدنظر قرار گرفت و از روش ابعاد فرو ریخته^{۲۴} جهت تعیین توزیع شار تشعشعی در داخل مشعل متخلخل کمک گرفته شد. آن‌ها دریافتند که بیشترین میزان تشعشع خروجی برای دیوارهای سیاه اتفاق می‌افتد و همچنین در مقایسه با تشعشع و هدایت جامد می‌توان از هدایت مخلوط گاز صرف‌نظر نمود. میشرا^{۲۵} و همکاران^[۲۶]، برای آنالیز حرارتی مشعل‌های متخلخل تابشی چهار گوش یک سیستم دو بعدی با ۱۶۴ واکنش و ۲۰ گونه شیمیایی در نظر گرفتند و معادلات انرژی جدآگاهه‌ای برای فاز گاز و جامد حل شد. آن‌ها نشان دادند که تعادل حرارتی در فاصله کوتاهی

1 - Brenner, G

2 - Malico

3 - Chung jen

4 - Methane (CH_4)

5 - Talukdar, P

6 - Collapsed dimension

7 - Mishra S.C

8 - Lari K

9 - Avdic

10 - Bidi

11 - Pantangi

12 - Muthukumar

تا اثرات نسبت هم ارزی و تغییر شیمیایی را بر عملکرد مشعل های محیط متخلخل همراه با تخلخل متغیر مورد بررسی قرار دهیم که برای این کار برنامه ای به زبان فرترن برای حالت دو بعدی و متقارن محور ایجاد شده است. امروزه با پیشرفت علم و تکنولوژی در عرصه ساخت مواد متخلخل، امکان تولید موادی با تخلخل متغیر دور از دسترس نخواهد بود [۱۸]. استفاده از تخلخل متغیر امکان تنظیم دمای ماکریم شعله را فراهم می آورد که به تبع آن می توان تولید مواد آلینده را نیز کاهش داد. همچنین در این کار نتایج محاسبات با هر یک از سه مکانیزم احتراقی GRI-۲/۱۱^۲ (۴۹ گونه و ۲۷۹ واکنش شیمیایی)، GRI-۳/۰ (۵۳ گونه و ۳۲۵ واکنش شیمیایی) و مکانیزمی با ۱۷ گونه و ۵۸ واکنش شیمیایی برای مقادیر مختلف نسبت هوای اضافی با یکدیگر مقایسه می شوند.

۲- فرضیات بکار رفته در حل مسئله

- ۱- جریان سیال پایا، آرام و نیوتانی است.
- ۲- با توجه به تغییر تخلخل، برای محاسبه ای افت فشار و بقیه متغیرها در ماتریس متخلخل همچنان معادله دارسی^۳ و فورهایمر^۴ برقرار است.
- ۳- اثرات نیروی حجمی ناچیز است.
- ۴- از انتقال حرارت تشعشعی فاز گاز در برابر ماتریس جامد صرفنظر شده است.
- ۵- اثرات سورت^۵ و دوفور^۶ صرف نظر شده است.
- ۶- از اثرات کاتالیزوری ماده های متخلخل در دمای بالا صرف نظر شده است.
- ۷- شرط عدم تعادل بین فاز جامد و گاز در نظر گرفته شده است که به وسیله ضریب انتقال حرارت جابجایی که دلالت بر انتقال حرارت جابجایی بین دو فاز دارد، به هم مرتبط می شوند.

۳- معادلات حاکم

با توجه به فرضیات مسئله معادلات حاکم به صورت زیر می باشند

[۱۹-۲۱] و [۳ و ۵]

دما و به تبع آن انتشار آلینده مونو اکسید نیتروژن در خروجی مشعل افزایش می یابد. آن ها در ادامه تحقیقاتشان [۱۳]، به بررسی اثرات پروفیل های تغییر تخلخل بر روی عملکرد و انتشار آلینده ها در مشعل پرداختند. نتایج حاکی از آن بود که با اعمال پروفیل تغییر تخلخل پیوسته به جای تخلخل ثابت در دو ناحیه پیش گرمایش و احتراقی، مقدار ماکریم دما و به تبع آن میزان انتشار آلینده مونو اکسید نیتروژن در خروجی مشعل کاهش می یابد. وو^۱ و همکاران [۱۴]، یک مشعل محیط متخلخل با شعله مسطح گاز مایع را ساختند. انتخاب این حالت امکان رسیدن به دماهای بالاتر شعله را می دهد که منجر به انتقال حرارت بالاتری می شود. محیط متخلخل از جنس ساقمه های برنزی انتخاب شده بود. آن ها به طور آزمایشگاهی ثابت کردند که مشعل متخلخل دارای دامنه تنظیم توان بیشتری در مقایسه با مشعل شعله آزاد می باشد. هاشمی و همکاران [۱۵]، به بررسی پدیده برگشت شعله در مشعل های متخلخل پرداختند، آن ها با تغییر عواملی نظیر نسبت هم ارزی، نرخ آتش و ویژگی های محیط متخلخل پرش و نفوذ شعله در داخل محیط متخلخل را مورد ارزیابی تجربی قرار دادند. در ادامه بررسی ها در مورد مشعل متخلخل به استفاده از محیط متخلخل برای پایدار سازی شعله غیر پیش آمیخته پرداختند، آن ها در نسبت هم ارزی ۶۳^۲ شعله پایدار به دست آورده که تقریباً با نسبت هم ارزی تشکیل شعله پیش آمیخته در مشعل متخلخل برابر است [۱۶]. گنجعلیخان نسب و همکاران [۱۷]، به مطالعه اثرات پارامتر های مختلف مانند ضخامت اپتیکی، ضریب تخلخل، نسبت هوای اضافی و نسبت پخش بر روی بازده تشعشع در مشعل های محیط متخلخل پرداختند. آن ها دریافتند که با افزایش ضخامت اپتیکی چون جذب انرژی به وسیله ای فاز جامد افزایش می یابد، بازده تشعشع نیز افزایش می یابد و با افزایش تخلخل، به علت کاهش سطح مخصوص بر واحد حجم فاز جامد، انرژی کمتری از فاز گاز به ماتریس جامد منتقل شده که منجر به کاهش بازده تشعشع می شود، همچنین با افزایش نسبت هوای اضافی و نسبت پخش، بازده تشعشع کاهش می یابد و با افزایش نسبت هوای اضافی، دمای بیشینه و همچنین مقدار آلینده های کربن مونو اکسید و مونو اکسید نیتروژن در محصولات احتراق کاهش می یابد. در کار حاضر سعی بر این است

2 - Gas Research Institute

3 - Darcy

4 - Forchheimer

5 - Soret

6 - Dufour

۱-۳-۱- معادله‌ی پیوستگی^۱

با در نظر گرفتن فرض عدم تعادل موضعی بین فاز جامد و گاز، معادلات جداگانه‌ای را برای فاز گاز و جامد خواهیم داشت.

$$\nabla \cdot (\rho V_s) = 0 \quad (1)$$

۱-۳-۲- معادله‌ی انرژی فاز گاز

$$\nabla \cdot (\rho V_s C_p T_f) = \nabla \cdot (\varepsilon \lambda_f \nabla T_f) + H(T_s - T_f) + \varepsilon \sum_{K=1}^{N_S} \dot{\omega}_k h_k \quad (2)$$

که ρ چگالی مخلوط گاز، C_p ظرفیت گرمایی ویژه مخلوط گاز، T_f دمای مخلوط گاز، ε تخلخل ماده متخلخل، λ_f ضریب هدایت گرمایی، H ضریب انتقال گرمایی حجمی، $\dot{\omega}_k$ دمای ماده متخلخل، h_k مربوط به نرخ تولید یا از بین رفتن اجزاء شیمیایی به علت واکنش‌های شیمیایی و K آنتالوپی تشکیل گونه‌ی K ام می‌باشد. برای تعیین ضریب انتقال حرارت حجمی H از رابطه آن با ضریب انتقال حرارت جابجایی با توجه به سطح مقطع به ازای واحد حجم ماده متخلخل (a_v) استفاده می‌شود [۲۷-۲۴].

$$H = a_v h$$

تعیین a_v با توجه به اطلاعات سازندگان سرامیک و یا اندازه گیری میسر خواهد شد [۲۸]، که در رابطه زیر به یک نمونه اشاره خواهد شد. PPC تعداد حفره‌ها به ازای یک سانتیمتر طول محیط متخلخل

$$a_v = 169.4 \text{ PPC}$$

۱-۳-۳- معادله‌ی انرژی فاز جامد

$$\nabla \cdot ((1-\varepsilon) \lambda_{effi} \nabla T_s) + H(T_f - T_s) - Q_R = 0 \quad (3)$$

انتقال حرارت تشعشع در داخل ماتریس متخلخل به وسیله λ_{eff} و بین فاز جامد و محیط اطراف به وسیله‌ی Q_R مدل می‌شود. ضریب انتقال گرمایی هدایت مؤثر (λ_{effi}) شامل همه مکانیزم‌های اصلی انتقال انرژی در محیط متخلخل می‌شود و به هدایت حرارتی فازهای جامد و گاز، خواص تشعشعی فاز جامد، فشار، دما، تخلخل و هندسه ماتریس متخلخل (شامل قطر مشخصه، شکل حفره و غیره) بستگی دارد [۲۱]. ضریب انتقال گرمایی هدایت مؤثر (λ_{effi}) بصورت زیر تعریف می‌گردد [۳۱-۲۹].

$$\lambda_{effi} = \lambda_{eff}^o + \frac{\frac{\dot{m}}{A} \cdot C_p \cdot d_m}{K_i} \quad (4)$$

۱-۳-۴- معادله‌ی مومنتم^۲ در جهت x

$$\nabla \cdot (\rho u V_s) = \nabla \cdot (\mu \nabla u) - \frac{\partial P}{\partial x} - \left(\frac{\Delta P}{\Delta L} \right)_x \quad (5)$$

۱-۳-۵- معادله‌ی مومنتم در جهت r

$$\nabla \cdot (\rho v V_s) = \nabla \cdot (\mu \nabla v) - \frac{\partial P}{\partial r} - \left(\frac{\Delta P}{\Delta L} \right)_r \quad (6)$$

که μ لزجت دینامیکی مخلوط گازها، ρ چگالی مخلوط گازها و $\frac{\partial P}{\partial r}$ و $\frac{\partial P}{\partial x}$ به ترتیب افت فشار به علت لزجت در جهت‌های x و r می‌باشند. در این معادلات ترم مربوط به افت فشار در داخل ماتریس متخلخل از $\frac{\Delta P}{\Delta L}$ معادله‌ی فورهایمر که با توجه به شرایط مربوطه از معادله‌ی دارسی دقیق‌تر است به دست می‌آید و به صورت زیر نشان داده می‌شود [۲۳ و ۲۲ و ۲۰ و ۱۹ و ۵].

$$\left(\frac{\Delta P}{\Delta L} \right)_i = \frac{\mu}{K_1} V_s + \frac{\mu}{K_2} V_s |V_s| \quad (7)$$

که در آن K_1 و K_2 به صورت زیر تعریف می‌گردند:

$$K_1 = \frac{(d_m)^2 \varepsilon^3}{180 \mu (1-\varepsilon)^2} \quad (8)$$

$$K_2 = \frac{(d_m) \varepsilon^3}{1.8 \rho_f (1-\varepsilon)} \quad (9)$$

قطر مشخصه d_s و بیانگر سرعت ظاهری V_s است که در محیط متخلخل بصورت زیر تعریف می‌شود:

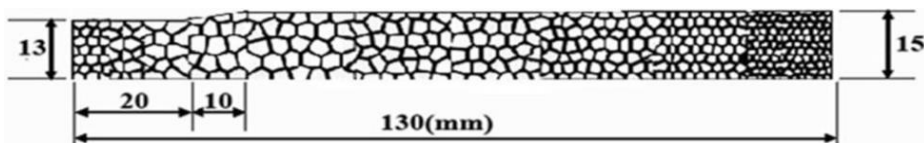
$$V_s = \varepsilon V \quad (10)$$

که ε بیانگر تخلخل ماده‌ی متخلخل می‌باشد.

۱ - Continuum equation

۲ - Momentum equation

۳ - Superficial



شکل ۱: شماتیکی از هندسه مورد بررسی
Fig. 1. A schematic of the under study burner

$$\dot{\omega}_k = M_k \sum_{l=1}^{N_R} \left(v''_{kl} - v'_k \right) K_1. \\ \left(\prod_{reactant} C'^{v'_{kl}} - \frac{1}{K_C} \prod_{product} C''^{v''_{kl}} \right) \quad (13)$$

که در آن λ°_{eff} به اکثر پارامترهای ذکر شده در بالا و به خصوص اثرات تشعشعی بستگی داشته و در آزمایشگاه به صورت تابعی از دما تعیین می‌شود. در معادله (۹) ترم اول ناشی از انتقال گرمایی هدایت و تشعشعی ماتریس متخلخل بدون وجود جریان و قسمت دوم مربوط به اثرات نفوذ همرفت می‌باشد که در آن $\frac{\dot{m}}{A}$ شار جرمی بر واحد سطح، d قطر مشخصه و (K_1, K_2) ضرایب پخش گرمایی ویژه، a ضریب مشخصه و ϵ میزان اطمینان را می‌دانند. انتقال حرارت تشعشع بین فاز جامد و محیط اطراف به صورت زیر تعریف می‌گردد [۲۱]:

$$\sum_{K=1}^{N_S} v'_{kl} A_k \leftrightarrow \sum_{K=1}^{N_S} v''_{kl} A_k \quad (14)$$

ثابت ویژه سرعت واکنش K_1 از رابطه‌ی آرنیوس^۱ به صورت زیر بدست می‌آید

$$K_1 = K_1^{\circ} T^{\beta_1} \exp\left(-\frac{E_1}{RT}\right) \quad (15)$$

فакتور فرکانس برخورد اتم‌ها^۲، β_1 توان دما و E_1 انرژی فعال سازی^۳ برای هر واکنش تعیین شده است.

۳-۷- معادله‌ی تغییر تخلخل

در شکل ۱ مشعل محیط متخلخل مورد بررسی را همراه با تخلخل متغیر خطی مشاهده می‌کنید.

$$\begin{aligned} 0.05X + 0.6 & \quad 0 \leq X \leq 2 \\ 0.15X + 0.4 & \quad 2 < X \leq 3 \\ 3 < X \leq 13 & \quad -0.015X + 0.895 \end{aligned} \quad (16)$$

خواص ترمو فیزیکی مربوط به ماتریس جامد مورد استفاده در

که در آن λ°_{eff} به اکثر پارامترهای ذکر شده در بالا و به خصوص اثرات تشعشعی بستگی داشته و در آزمایشگاه به صورت تابعی از دما تعیین می‌شود. در معادله (۹) ترم اول ناشی از انتقال گرمایی هدایت و تشعشعی ماتریس متخلخل بدون وجود جریان و قسمت دوم مربوط به اثرات نفوذ همرفت می‌باشد که در آن $\frac{\dot{m}}{A}$ شار جرمی بر واحد سطح، d قطر مشخصه و (K_1, K_2) ضرایب پخش گرمایی ویژه، a ضریب مشخصه و ϵ میزان اطمینان را می‌دانند. انتقال حرارت تشعشع بین فاز جامد و محیط اطراف به صورت زیر تعریف می‌گردد [۲۱]:

$$Q_R = (1 - \epsilon) \cdot \frac{a C_B \cdot (T_s^4 - T_0^4)}{\Delta l} e^{-\psi x} \quad (11)$$

$$\psi = -\frac{1}{\Delta l} \ln \epsilon$$

که Δl معرف طول است که می‌تواند به عنوان ثابت مدل تعریف شود. a ضریب میرایی یا خاموشی برای ماتریس متخلخل، C_B ضریب جذب و ϵ ضریب استفان-بولتزمن می‌باشد

$$C_B = 5/67 \times 10^{-8} \frac{W}{m^4 K^4}$$

۳-۶- معادله‌ی بقاء گونه‌های شیمیایی

$$\nabla \cdot (\rho V_s Y_k) = \nabla \cdot (\rho \epsilon D_{km} \nabla Y_k) + \epsilon \dot{\omega}_k \quad (12)$$

$$k \in [1, N_s]$$

که D ضریب نفوذ جرم مخلوط گازی متشکل از N_s جزء می‌باشد. $\dot{\omega}_k$ نرخ تولید یا از بین رفتن گونه‌ی شیمیایی k ام به علت واکنش‌های شیمیایی است که به صورت زیر قابل محاسبه می‌باشد که تعداد گونه‌های شیمیایی است.

۱ - Arrhenius
۲ - Collision frequency factor
۳ - Activation Energy

جدول ۱: خصوصیات ترموفیزیکی ماده متخلخل مورد استفاده [۵ و ۳۰]

Table 1. Thermophysical properties of porous material used in this work

ناحیه احتراقی	ناحیه پیش گرمایش	خواص، یکا
۰/۵	۰/۱	W/mK
۱×۱۰ ^{-۸}	۱×۱۰ ^{-۷}	W / m ^۳ K
۰/۶	۰/۵۵	cm

ناحیه احتراقی ثابت و برابر ۱۴۱۰ کلوین، و در ناحیه‌ی پیش گرمایش به صورت عایق فرض می‌شود.

جدول ۱ آورده شده است.

۴- شرایط مرزی

۴-۱- شرایط مرزی ورودی

سرعت، دما و غلظت گونه‌ها، در ورود به مشعل داده شده فرض می‌شود و بقیه متغیرها در ورودی مشعل به صورت معادلات (۱۷) هستند.

$$(1-\varepsilon)\lambda_s \frac{\partial T_s}{\partial x} = -\varepsilon_r \sigma (T_s^4 - T_0^4) \quad (17)$$

$$u = u_{in}, V = 0, \quad T_g = T_{in}, \quad Y_i = Y_{i,in},$$

که در آن σ ثابت استفان بولتزمن^۱ که برابر $۵/۱۰ \times ۶۷۰$ است، ε_r ضریب انتشار سطح و T . دمای محیط است که برابر ۳۰۰ کلوین در نظر می‌گیریم.

مکانیزم‌های احتراقی

گروه‌های تحقیقاتی متعددی با همکاری یکدیگر در زمینه ایجاد یک مکانیزم بهینه سینتیک شیمیایی فعالیت می‌کنند. مهم‌ترین این گروه‌ها موسسه تحقیقاتی گاز^۲ می‌باشد. موسسه تحقیقات گاز در امریکا است که با همکاری دانشگاه برکلی^۳ در کالیفرنیا، دانشگاه استنفورد^۴، دانشگاه آستون^۵ در تگزاس و موسسه تحقیقاتی استنفورد^۶، تشکیل شده است. این سازمان بر روی احتراق و واکنش‌های آن تحقیق و آزمایش می‌کند. GRI-Mech در اصل شامل یک لیست از واکنش‌های ابتدایی شیمیایی و نرخ ثابت عبارات مربوط به آن‌ها است. بیشتر واکنش‌های لیست شده در آن از طریق راههای مختلف در آزمایشگاه مورد مطالعه قرار گرفته‌اند. لذا پارامترهای ثابتی که در

۴-۲- شرط مرزی خروجی

کلیه متغیرها شامل سرعت محوری، سرعت شعاعی، دمای گاز و غلظت گونه‌ها در خروجی مشعل به صورت توسعه یافته فرض می‌شوند که به صورت معادلات (۱۸) در برنامه اعمال می‌شوند.

$$\frac{\partial u}{\partial x} = \frac{\partial v}{\partial x} = \frac{\partial T_g}{\partial x} = \frac{\partial Y_i}{\partial x} = 0, \quad (18)$$

$$(1-\varepsilon)\lambda_s \frac{\partial T_s}{\partial x} = -\varepsilon_r \sigma (T_s^4 - T_0^4)$$

۴-۳- شرط مرزی دیوار

بر روی دیوار شرط عدم لغزش را اعمال نموده و گرادیان جزء جرمی برابر صفر در نظر گرفته می‌شود. همچنین دمای دیوار در

2 - Gas Research Institute. (GRI)

3 - Berkeley

4 - Stanford

5 - Austin

6 - Stanford Research Institute

1 - Stefan-Boltzmann

بدون ترم چشممه واکنش‌های شیمیایی به صورت گذرا حل می‌شود.

$$\frac{\partial}{\partial t} (\ddot{a}n C_p T_f) + \nabla \cdot (\rho V_s C_p T_f) = 0 \quad (20)$$

$$\nabla \cdot (\varepsilon \lambda_f \nabla T_f) + H(T_s - T_f) \quad (21)$$

$$\frac{\partial}{\partial t} (\varepsilon \rho Y_k) + \nabla \cdot (\rho V_s Y_k) = \nabla \cdot (\rho \varepsilon D_{km} \nabla Y_k) \quad (21)$$

و سپس معادلات (۲۲) و (۲۳) با در نظر گرفتن ترم چشممه واکنش‌های شیمیایی حل می‌شود.

$$\frac{\partial}{\partial t} (\varepsilon \rho Y_k) = \varepsilon \omega_k W_k \quad (22)$$

$$\frac{\partial}{\partial t} (\varepsilon \rho C_p T_f) = -\varepsilon \sum_{K=1}^{N_S} \dot{\omega} h_k W_k \quad (23)$$

البته این معادلات نیز سخت رفتار بوده و برای حل آن‌ها از کد VODE که برای حل معادلات دیفرانسیل سخت رفتار به کار می‌رond، استفاده می‌شود [۳۳]. زیربرنامه DVODE معادلات دیفرانسیل مرتبه‌ی اول را بر اساس الگوریتم هیندمارش-گیر^۵، حل می‌کند [۲۰]. که این الگوریتم به صورت معادلات (۲۴) و (۲۵) تعریف می‌شود.

$$[Y_i]^{new} = [Y_i]^{old} + [\Delta Y_i]^{transport} + [\Delta Y_i]^{source} \quad (24)$$

$$[T_g]^{new} = [T_g]^{old} + [\Delta T_g]^{transport} + [\Delta T_g]^{source} \quad (25)$$

که در آن $[Y_i]^{old}$ و $[T_g]^{old}$ به ترتیب جزء جرمی و دمای گاز در تکرار قبلی، $[\Delta Y_i]^{transport}$ و $[\Delta T_g]^{transport}$ به ترتیب تفاضل جزء جرمی و دما قبل و بعد از حل معادلات (۲۰) و (۲۱) با صرفنظر نمودن از ترم‌های مربوطه و $[\Delta Y_i]^{source}$ و $[\Delta T_g]^{source}$ تفاضل جزء جرمی و دما قبل و بعد از حل معادلات (۲۲) و (۲۳) می‌باشد. در این کار برای اعمال سینتیک شیمیایی و ویژگی‌های ترمو فیزیکی و ترمو شیمیایی و نرخ پیشرفت واکنش از زیر برنامه‌ی ترنفیت^۶ و کمکین^۷ استفاده شده است [۳۴]، و برای شبیه‌سازی فرایند احتراق از سه مکانیزم GRI-۲/۱۱، GRI-۳/۰ و مکانیزمی با ۱۷ گونه و ۵۸ واکنش شیمیایی [۳۲] استفاده شده است. شکل ۲، فلوچارت حل مسئله را از

آن وجود دارد، از طریق نتایج آزمایشگاهی که به طور دقیق انجام گرفته‌اند، به دست آمده‌اند که مهم‌ترین آن‌ها ضرایب ثابت رابطه‌ی آربنیوس می‌باشد.

GRI ۳ : این مکانیزم شامل ۵۳ گونه و ۳۲۵ واکنش شیمیایی می‌باشد و کامل‌ترین نسخه‌ای است که تاکنون توسط موسسه تحقیقات گاز در امریکا ارائه شده است [۳۲].

GRI-۲/۱۱ : این مکانیزم شامل ۴۹ گونه و ۲۷۹ واکنش شیمیایی است. در این مکانیزم گونه‌های C_6H_8 ، C_7H_8 و CH_3CHO در لیست گونه‌هایی که در واکنش احتراق گاز متان شرکت دارند، به حساب نیامده‌اند.

مکانیزم ۱۷ گونه‌ای : مکانیزم ۱۷ گونه‌ای که از مکانیزم کامل به دست می‌آید دارای ۵۸ واکنش شیمیایی است. این مکانیزم، هیچ واکنشی را جهت انتشار آلاینده مونو اکسید نیتروژن در نظر نمی‌گیرد.

نسبت هوای اضافی

برای دستیابی به یک احتراق کامل در یک فرایند از مقدار هوایی بیشتر از هوای تئوری استفاده می‌شود تا بتوان از احتراق کامل سوخت مطمئن شد. نقش دیگر این هوای اضافه جلوگیری از تشکیل گاز خطرناک مونو اکسید کربن است.

۵- مدل سازی عددی

در این مقاله معادلات حاکم شامل معادله‌ی پیوستگی، مومنتم، معادله‌ی انرژی فاز جامد (ماتریس متخلخل)، معادله‌ی انرژی فاز گاز و معادلات بقاء گونه‌های شیمیایی براساس روش حجم محدود گسسته‌سازی شده‌اند و فشار و سرعت از طریق الگوریتم سیمپل^۱ به هم ارتباط داده شده‌اند و در صورتی که از مکانیزم واکنش چند مرحله‌ای استفاده شود، دستگاه جبری حاصل از تجزیه معادلات بقاء اجزا و انرژی فاز گاز اصطلاحاً سخت رفتار^۲ هستند و استفاده از روش‌های تکراری نظیر الگوریتم ماتریس سه قطعی^۳ موجب واگرایی می‌شود. برای رفع این مشکل از روش انشعاب عملگر^۴ استفاده می‌شود [۲۰].

به این ترتیب که معادله‌های انرژی فاز گاز و بقاء اجزاء یکبار

۱ - SIMPLE

۲ - Stiffness

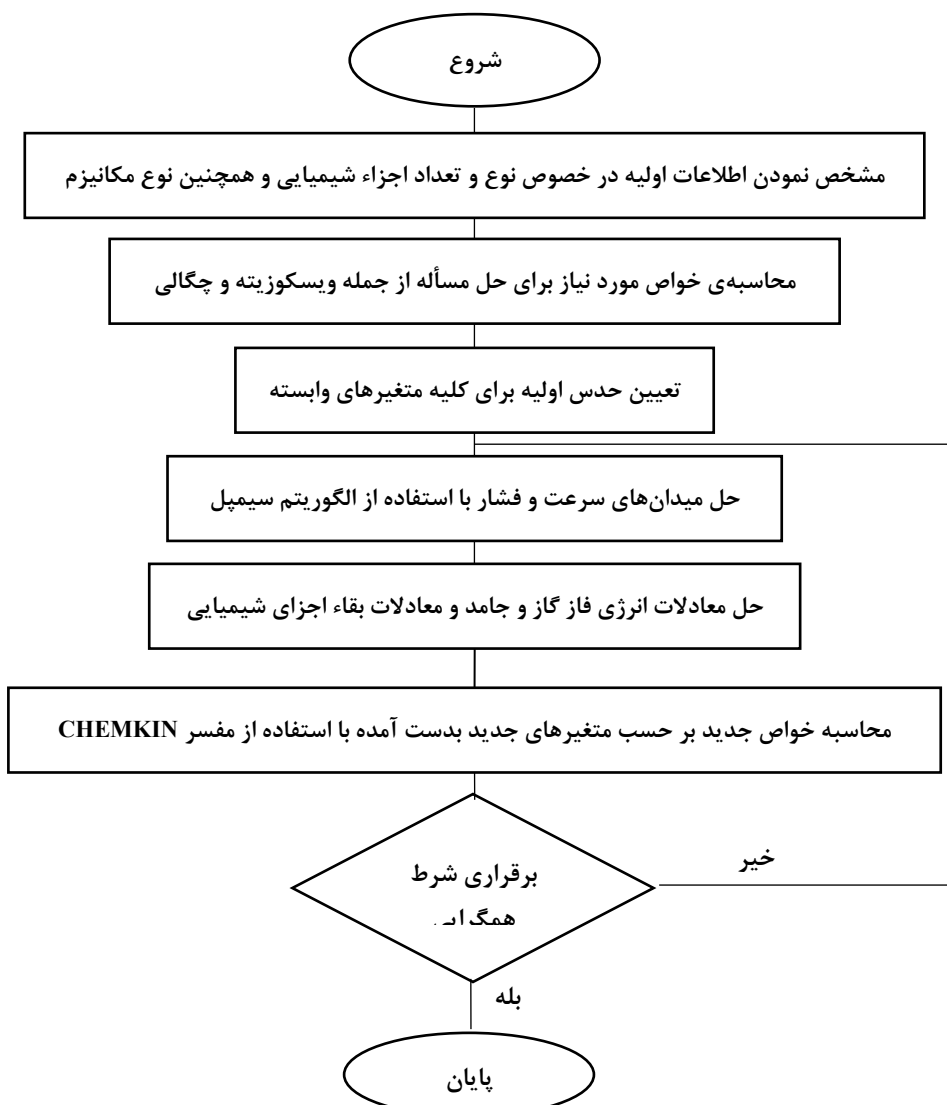
۳ - Triangle Diameter Matrix Algorithm

۴ - Operator Splitting

۵ - Hindmarsh-Gear

۶ - Tranfit

۷ - Chemkin



نمای کلی نشان می دهد.

۷- صحت سنجی نتایج

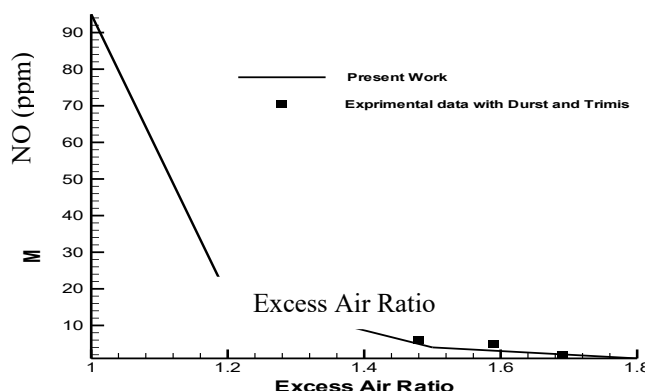
در این قسمت به مقایسه و بررسی پروفیل های دما و کسر جرمی گونه مونو اکسید نیتروژن با نتایج آزمایشگاهی دورست و تریمیس پرداخته می شود [۳۵]. شکل ۳ چگونگی توزیع دمای گاز و ماتریس جامد را روی خط مرکزی مشعل برای سینتیک GRI-۳/۰ در مقایسه با نتایج آزمایشگاهی به دست آمده از دورست و تریمیس را نشان می دهد. همانگونه که مشاهده می شود، دمای ماتریس جامد در قسمت بالا دست واکنش بالاتر از دمای گاز می باشد و همچنین دمای

۶- بررسی استقلال از مش بندي

در این مقاله برای بررسی استقلال از مش ، شبکه بندهای مختلفی مورد بررسی قرار داده شد. نتایج نشان داد که تغییرات متغیرها با ریزتر شدن شبکه از 26×26 بسیار ناچیز و در حدود ۳٪ خواهد بود که در کارهای مهندسی قابل صرف نظر کردن می باشد، بنابراین کلیه نتایج بر اساس مش ذکر شده گزارش شده است. جدول ۲ مقادیر عددی مربوط به دمای گاز را برای حالات مختلف مش بندي

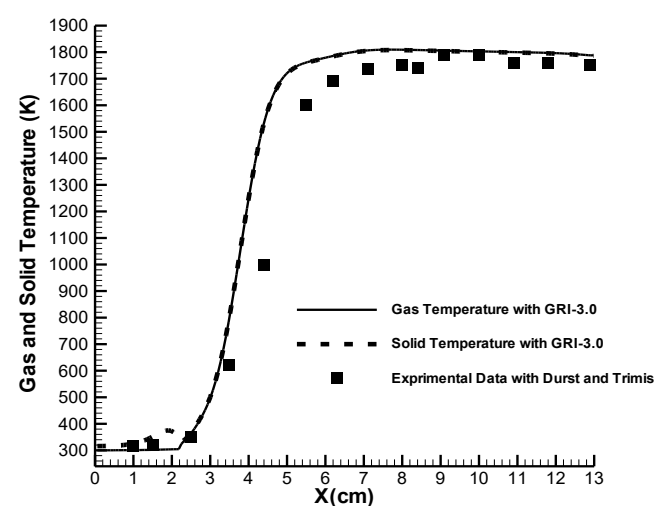
جدول ۲: مقادیر دمای گاز برای نقاط آزمون مختلف با توجه به مش بندی های ذکر شده
Table 2. Gas temperature values for the different test points according to the mentioned mesh

نقاط آزمون				
X=۱۱.۵cm	X=۸.۵cm	X=۶.۵cm	X=۴.۵cm	مش بندی
۱۶۵۵ K	۱۶۵۰ K	۱۳۵۰ K	۵۲۲ K	۱۶۰x۱۳
۱۳۷۰ K	۱۷۵۰ K	۱۷۴۰ K	۱۴۱۰ K	۱۶۰x۲۶
۱۷۶۵ K	۱۷۶۰ K	۱۷۵۲ K	۱۴۲۲ K	۲۶۰x۱۳
۱۹۵۲ K	۱۹۵۲ K	۱۹۵۰ K	۱۵۷۳ K	۲۶۰x۲۶
۱۹۹۰ K	۱۹۹۱ K	۱۹۷۹ K	۱۵۸۸ K	۳۹۰x۲۶



شکل ۴: مقایسه کسر جرمی گونه NO با نتایج تجربی در مشعل محیط متخلخل و سینتیک شیمیایی GRI-۲/۱۱ برای مقادیر مختلف نسبت هوای اضافی [۳۵]

Fig. 4. Comparison of mass fraction of NO species with experimental results in a porous media burner and GRI-2.11 chemical kinetics for different amounts of excess air ratio

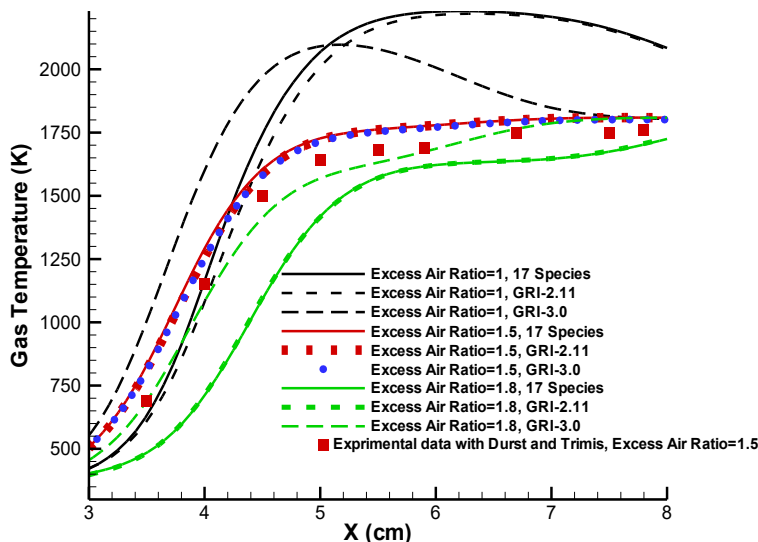


شکل ۳: مقایسه توزیع دمای بدست آمده از سینتیک GRI-۲/۰ با نتایج تجربی در مشعل محیط متخلخل با نسبت هوای اضافی ۱/۵ [۳۵]

Fig. 3. Comparison of temperature distribution obtained from kinetics GRI-3.0 with experimental results in a porous media burner with an excess air ratio of 1.5

آزمایشگاهی تطابق قابل قبولی وجود دارد. در شکل ۴ کسر جرمی گونه مونو اکسید نیتروژن برای نتایج حاصل از شبیه سازی عددی و آزمایشگاهی در مشعل محیط متخلخل با توان 5 kW و در خروجی مشعل به عنوان تابعی از نسبت هوای اضافی نشان داده شده است. بیشترین اختلاف بین نتایج آزمایشگاهی و نتایج حاصل از شبیه سازی عددی حدود ۸ درصد می باشد که با توجه به استفاده از سینتیک شیمیایی GRI-۲/۱۱ در نتایج حاصل از شبیه سازی عددی، ضروری است که به منظور دستیابی به پیش بینی بهتر جهت انتشار مونواکسید نیتروژن از مکانیزم شیمیایی و میدان دمایی دقیق تری، استفاده شود. با توجه به شکل ۴ بین نتایج حاصل از شبیه سازی عددی و نتایج آزمایشگاهی اختلاف اندکی وجود دارد که می توان از آن صرف نظر نمود.

گاز و جامد در ناحیه احتراقی تقریباً بر هم منطبق می باشند. یکی از مهمترین مزایای مشعل های محیط متخلخل برتری آن ها در پیش گرمایش سوخت و هوا قبل از احتراق می باشد. این پیش گرمایش عمدتاً توسط انتقال حرارت تشعشعی در ماتریس متخلخل و انتقال آن به فاز گاز توسط انتقال حرارت جابه جایی و بخشی نیز توسط انتقال حرارت هدایت در طول ماتریس متخلخل انجام می شود. از آنجا که ضریب انتقال حرارت جابه جایی در ناحیه احتراقی بالا است، درجه حرارت محلی ماتریس متخلخل به جز ناحیه کوچکی در دمای پایین قبل از احتراق، برابر دمای فاز گاز می باشد. بیشترین اختلاف بین نتایج عددی و شبیه سازی آزمایشگاهی حدود ۶ درصد می باشد. با توجه به شکل ۳ بین نتایج به دست آمده از مدل سازی عددی و نتایج



شکل ۵: نمودار دمای گاز با استفاده از مکانیزم احتراقی GRI-۲/۱۱ و GRI-۳/۰ و مکانیزم ۱۷ گونه‌ای برای مقادیر مختلف نسبت هواي اضافي [۳۵]
Fig. 5. Gas temperature diagram using the GRI-3.0, GRI-2.11 and 17-species mechanisms for different values of the excess air ratio

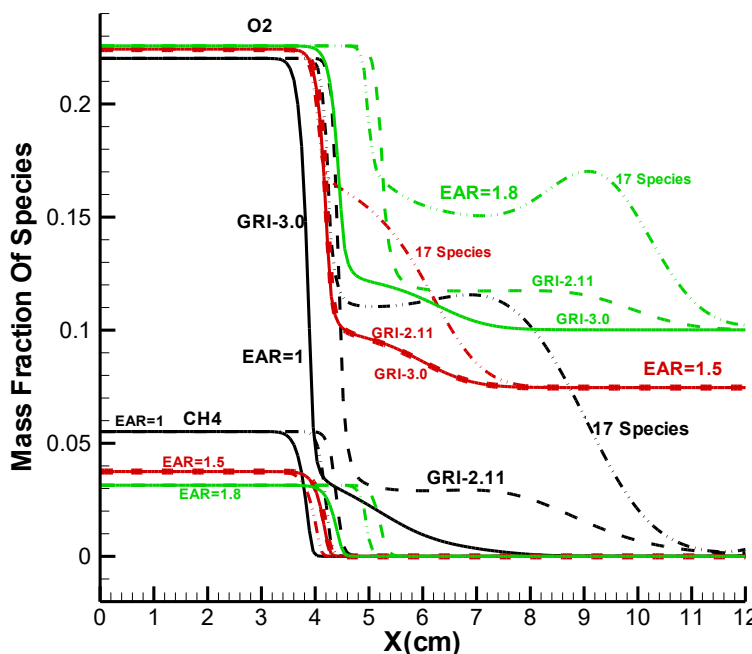
جدول ۳: مدت زمان انجام محاسبات برای مکانیزم‌های احتراقی و پروفیل‌های تخلخل مختلف
Table 3. Time of calculation for several combustion mechanisms and porosity profiles

مشخصات کامپیووتر مورد استفاده:			
Pentium ۴-Intel (R), Celeron(R), d CPU ۳/۲۰ GHz, ۲ GB of RAM			
تخلخل متغیر مرتبه اول	تخلخل ثابت ۷۰ ناحيه پيش گرمایش و ۸۵ برای ناحيه احتراقی		مکانیزم ها
۷۵۰	۸۰۲	۹	GRI-۳/۰
۶۸۰	۷۰۸	۹	GRI-۲/۱۱
۴۰۵	۴۵۰	۵	۱۷ گونه

۸- نتایج

مختلف نسبت هواي اضافي را نشان مي‌دهد. همانطور که مشاهده می‌شود، بيشترین ميزان دماي توليد شده با استفاده از هر سه مکانیزم احتراقی برای شرایط استوکيمتری است و بعد از آن با افزایش نسبت هواي اضافي متوسط سطح درجه حرارت ميدان و ماکزيم دما کاهش چشمگيري مي‌يابد. با توجه به شكل هنگامي که نسبت هواي اضافي ۱/۵ است، نتایج ناشي از هر سه مکانیزم تقریباً بر يكديگر منطبق بوده و می‌توان از مکانیزم‌های کوچک‌تر استفاده کرد و بدین طريق در وقت و هزينه صرفه جويي نمود. جدول ۳ مدت زمان انجام محاسبات را برای مکانیزم‌های احتراقی مختلف، نشان مي‌دهد با توجه به جدول ۳

در کار حاضر احتراق پيش آميخته‌ی متان- هوا در داخل يك مشعل محيط متخلخل دو ناحيه‌اي (شکل ۱) مورد مطالعه قرار گرفته است و برای شبие سازی سينتيك‌های شيميايی از سه مکانیزم مختلف شامل GRI-۲/۱۱، GRI-۳/۰ و مکانیزم ۱۷ گونه و ۵۸ واكنش شيميايی استفاده شده است و اثرات اين مکانیزم‌ها بر روی پروفيل دما، كسر جرمی گونه‌ها و انتشار آلينده‌ها مورد بررسی قرار گرفته است همچنین در اين کار، اثرات نسبت هواي اضافي بر روی نتایج حاصل از مکانیزم‌های احتراقی مختلف نشان داده شده است. شکل ۵ نمودار دمای گاز با استفاده از مکانیزم‌های احتراقی



شکل ۶: نمودار کسر جرمی گونه‌ها با استفاده از مکانیزم‌های احتراقی GRI-۲/۱۱، GRI-۳/۰ و مکانیزم ۱۷ گونه‌ای برای مقادیر مختلف نسبت هوای اضافی

Fig. 6. Diagram of the mass fraction of species using the combustion mechanisms GRI-2.11, GRI-3.0 and the 17-species mechanism for different values of the excess air ratio

پیدا می‌کند مقدار انتشار آن در خروجی مشعل افزایش می‌یابد. با توجه به شکل در نسبت هوای اضافی ۱/۵ نتایج به دست آمده با استفاده از مکانیزم‌های GRI-۲/۱۱ و GRI-۳/۰ تقریباً بر هم منطبق می‌باشند و تنها اختلاف اندکی در ناحیه احتراقی برای مکانیزم ۱۷ گونه‌ای مشاهده می‌شود ولی در سایر نسبت‌های هوای اضافی این اختلاف بیشتر مشهود است.

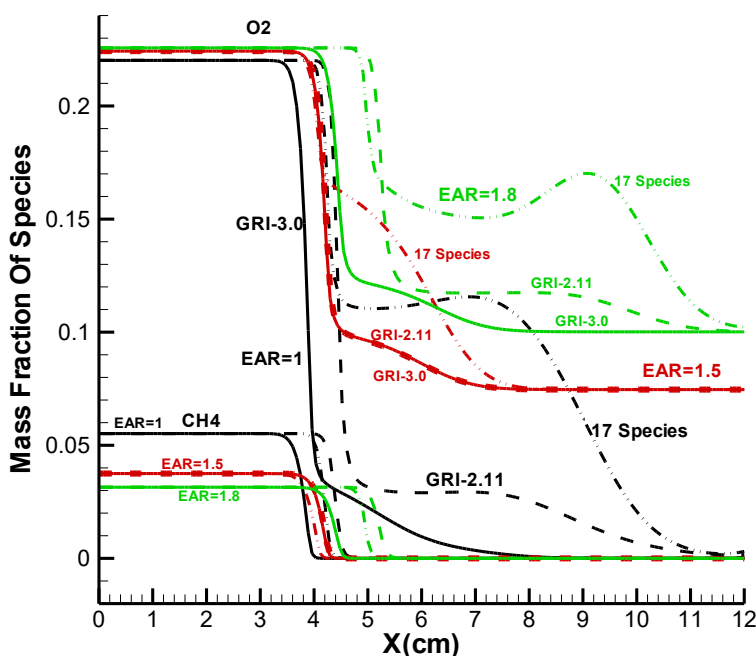
شکل ۷ کسر جرمی گونه کربن دی اکسید را به عنوان یکی از محصولات احتراق نشان می‌دهد. با توجه به شکل بیشترین مقدار تولید این آلاینده برای شرایط استوکیومتری است و هر چه مکانیزم احتراقی کامل‌تر گردد مقدار تولید آن در ناحیه احتراق بالاتر می‌باشد اما با توجه به این که در بررسی آلاینده‌ها و گازهای گلخانه‌ای آنچه دارای اهمیت اصلی است و باعث آلودگی زیست محیطی می‌شود مقدار انتشار آن در خروجی مشعل است که برای تمامی مکانیزم‌های احتراقی در یک نسبت هوای اضافی ثابت مقدار یکسانی را پیش بینی می‌کند.

شکل ۸ نمودار کسر جرمی گونه H_2O را با استفاده از مکانیزم‌های احتراقی GRI-۲/۱۱، GRI-۳/۰ و مکانیزم ۱۷ گونه‌ای برای مقادیر مختلف نسبت هوای اضافی نشان می‌دهد. به

هنگامی که از مکانیزم ۱۷ گونه‌ای استفاده می‌شود برنامه حدود ۳۰۰ دقیقه سریعتر همگرا می‌گردد. همچنین استفاده از مکانیزم ۱۷ جزئی پایداری و نرخ همگرایی محاسبات را در مقایسه با مکانیزم‌های بزرگ‌تر افزایش می‌دهد. بنابراین با توجه به نیازی که از انجام محاسبات دارید می‌توان بهترین مکانیزم را انتخاب نمود. با تغییر نسبت هوای اضافی نتایج ناشی از مکانیزم‌های مختلف از یکدیگر فاصله گرفته و برای دستیابی به میدان دمایی و پروفیل‌های کسر جرمی گونه‌های هرچه دقیق‌تر باشیست از مکانیزم کامل‌تر GRI-۳/۰ استفاده نمود.

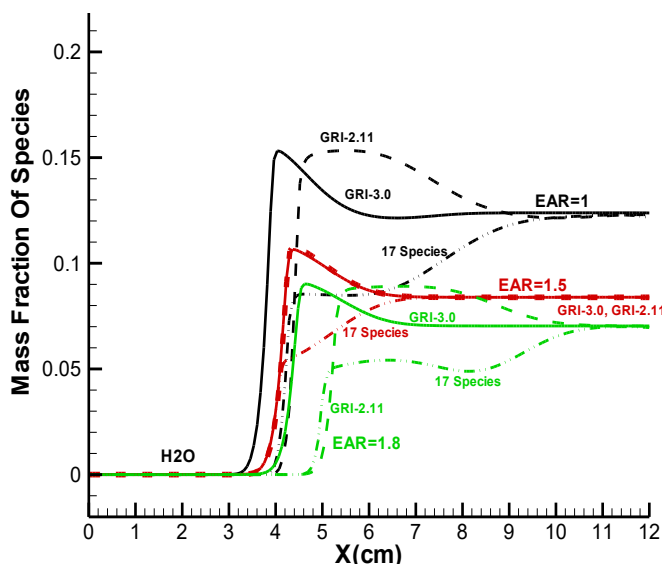
شکل ۶ نمودار مربوط به کسر جرمی گونه‌های متان و اکسیژن^۱ را برای مقادیر مختلف نسبت هوای اضافی را نشان می‌دهد. همانطور که مشاهده می‌شود مقادیر آن‌ها در ابتدا و قبل از فرایند احتراق ثابت بوده و سپس در ناحیه احتراق از مقدار آن‌ها کاسته شده و درنهایت مجددأ ثابت می‌شوند. با توجه به شکل مقدار کسر جرمی متan در خروجی مشعل برای تمام مقادیر نسبت هوای اضافی برابر صفر بوده و این نشان دهنده احتراق کامل گاز متان است. برخلاف گاز متان، مقدار گاز اکسیژن در خروجی مشعل تنها برای شرایط استوکیومتری برابر صفر می‌باشد و هر چه نسبت هوای اضافی افزایش

^۱ -Oxygen-(O₂)



شکل ۷: نمودار کسر جرمی گونه کربن دی اکسید با استفاده از مکانیزم های احتراقی GRI-۲/۱۱، GRI-۳/۰ و مکانیزم ۱۷ گونه ای برای مقادیر مختلف نسبت هوای اضافی

Fig. 7. Diagram of the mass fraction of CO_2 species using the combustion mechanisms GRI-2.11, GRI-3.0 and the 17-species mechanism for different values of the excess air ratio

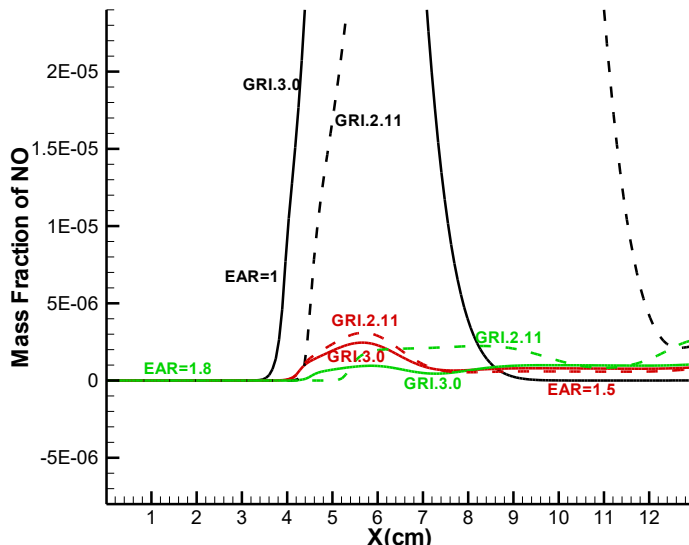


شکل ۸: نمودار کسر جرمی گونه H_2O با استفاده از مکانیزم های احتراقی GRI-۲/۱۱، GRI-۳/۰ و مکانیزم ۱۷ گونه ای برای مقادیر مختلف نسبت هوای اضافی

Fig. 8. Diagram of the mass fraction of H_2O species using the combustion mechanisms GRI-2.11, GRI-3.0 and the 17-species mechanism for different values of the excess air ratio

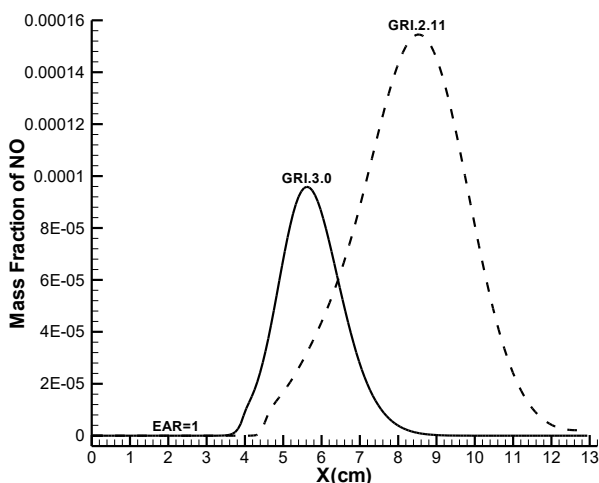
به شکل مکانیزم های GRI-۲/۱۱ و GRI-۳/۰ واکنش های برگشت را برای مصرف O_2 در نظر می گیرند اما مکانیزم ۱۷

دلیل پدیده احتراق، H_2O به عنوان محصول واکنش تولید می شود و کسر جرمی آن در طول واکنش شیمیایی افزایش می یابد. با توجه



شکل ۹: نمودار کسر جرمی گونه مونو اکسید نیتروژن با استفاده از مکانیزم‌های احتراقی GRI-۲/۱۱ و GRI-۳/۰ برای مقادیر مختلف نسبت هوای اضافی

Fig. 9. Diagram of the mass fraction of NO species using the combustion mechanisms GRI-2.11 and GRI-3.0 for different values of the excess air ratio



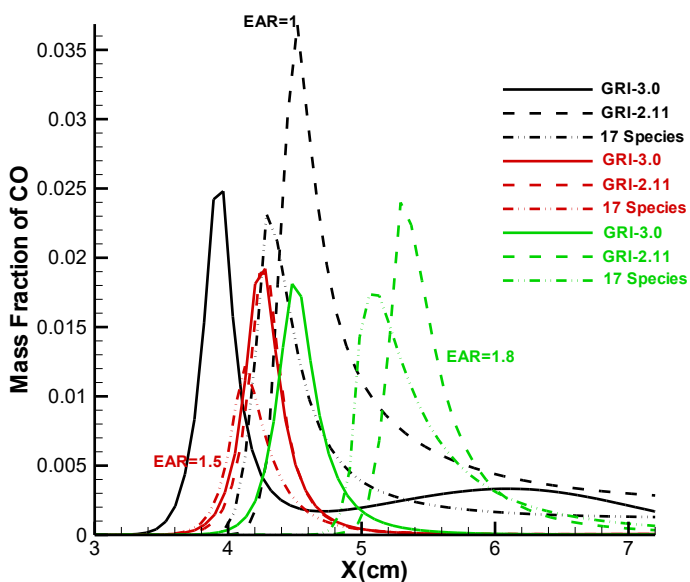
شکل ۱۰: نمودار کسر جرمی گونه مونو اکسید نیتروژن با استفاده از مکانیزم‌های احتراقی GRI-۲/۱۱ و GRI-۳/۰ برای شرایط استوکیومتری

Fig. 10. Diagram of the mass fraction of NO species using the combustion mechanisms GRI-2.11, GRI-3.0 for Stoichiometric conditions

شکل ۱۱ نمودار کسر جرمی گونه کربن مونو اکسید با استفاده از مکانیزم‌های احتراقی GRI-۲/۱۱، GRI-۳/۰ و مکانیزم ۱۷ گونه‌ای برای مقادیر مختلف نسبت هوای اضافی را نشان می‌دهد. با توجه به شکل بیشترین میزان تولید کربن مونو اکسید برای شرایط

گونه‌ای این گونه نیست [۳۶].

شکل ۹ نمودار کسر جرمی گونه مونو اکسید نیتروژن روی خط مرکزی مشعل با استفاده از مکانیزم‌های احتراقی GRI-۲/۱۱ و GRI-۳/۰ برای مقادیر مختلف نسبت هوای اضافی را نشان می‌دهد. با توجه به شکل مقدار مونو اکسید نیتروژن در ابتدای واکنش ناچیز بوده ولی با افزایش دما و فعال شدن واکنش‌های تولید این آلاینده، مقدار آن افزایش یافته که با توجه به شکل بیشترین مقدار تولید مونو اکسید نیتروژن در انتهای جبهه شعله اتفاق می‌افتد. میزان تولید آلاینده مونو اکسید نیتروژن به شدت به نسبت هوای اضافی وابسته است و هر چه نسبت هوای اضافی افزایش می‌یابد مقدار تولید آلاینده مونو اکسید نیتروژن کاهش پیدا می‌کند. با توجه به شکل ۵ با افزایش نسبت هوای اضافی، ماکریتم دما و متوسط سطح درجه حرارت میدان کاهش یافته و چون تولید مونو اکسید نیتروژن به شدت به دما وابسته است، مقدار این آلاینده کاهش پیدا می‌کند. با توجه به شکل ۱۰ در شرایط استوکیومتری مقدار انتشار آلاینده مونو اکسید نیتروژن با استفاده از مکانیزم GRI-۳/۰ در خروجی مشعل تقریباً صفر پیش بینی می‌شود این در حالی است که برای سایر مکانیزم‌ها و نسبت‌های هوای اضافی دیگر میزان انتشار آن از مرتبه بزرگی ۱۰⁻۶ خواهد بود.



شکل ۱۱: نمودار کسر جرمی گونه مونو اکسید کربن با استفاده از مکانیزم‌های احتراقی GRI-۲/۱۱ و GRI-۳/۰ و مکانیزم ۱۷ گونه‌ای برای مقادیر مختلف نسبت هوای اضافی

Fig. 11. Diagram of the mass fraction of CO species using the combustion mechanisms GRI-2.11, GRI-3.0 and the 17-species mechanism for different values of the excess air ratio

عددی وجود دارد. نتایج نشان می‌دهند:

- ۱- با افزایش نسبت هوای اضافی، متوسط سطح درجه حرارت میدان و ماکریتم دما کاهش می‌یابد.
- ۲- بیشترین میزان تولید آلاینده‌های کربن دی اکسید، مونو اکسید نیتروژن و کربن مونو اکسید برای شرایط استوکیومتری اتفاق می‌افتد.
- ۳- با افزایش نسبت هوای اضافی مقدار تولید آلاینده‌های کربن مونو اکسید و مونو اکسید نیتروژن کاهش می‌یابد.
- ۴- در نسبت هوای اضافی ۱/۵ نتایج ناشی از هر سه مکانیزم احتراقی GRI-۲/۱۱، GRI-۳/۰ و مکانیزم ۱۷ گونه‌ای تقریباً یکسان است و می‌توان با استفاده از مکانیزم ۱۷ جزئی به جای GRI-۳/۰ زمان محاسبات را به مقدار قابل توجهی کاهش داد چرا که تعداد گونه‌ها از ۵۳ گونه به ۱۷ گونه کاهش می‌یابد. همچنین استفاده از مکانیزم ۱۷ جزئی پایداری و نرخ همگرایی محاسبات را در مقایسه با مکانیزم‌های بزرگ‌تر افزایش می‌دهد.
- ۵- اگرچه مکانیزم ۱۷ جزئی میزان انتشار آلاینده مونو اکسید نیتروژن را به دست نمی‌دهد اما می‌توان از آن در جایی که نیازی به محاسبه مونو اکسید نیتروژن نیست، استفاده کرد و به این طریق در وقت و هزینه صرفه جویی نمود بنابراین با توجه به نیازی که از انجام

استوکیومتری است و بعد از آن با افزایش نسبت هوای اضافی از مقدار آن کاسته می‌شود. علت این امر را می‌توان این گونه توضیح داد که با افزایش نسبت هوای اضافی مخلوط سوخت و هوا رقیق‌تر شده و احتراق کامل‌تر می‌گردد و چون ماکریتم دما کاهش می‌یابد، در نتیجه مقدار کربن دی اکسید کمتری به کربن مونو اکسید و اکسیژن تجزیه می‌شود و از میزان تولید آن کاسته می‌شود. همان‌طور که در شکل مشهود است در نسبت هوای اضافی ۱/۵، نتایج ناشی از هر سه مکانیزم احتراقی مقادیر تقریباً یکسانی را پیش‌بینی می‌کنند که این امر سبب می‌شود تا بتوان در این شرایط از مکانیزم‌های احتراقی کوچک‌تر استفاده نمود. با توجه به اهمیت میزان انتشار آلاینده‌ها در خروجی مشعل، لازم به ذکر است که بیشترین میزان انتشار کربن مونو اکسید مربوط به شرایط استوکیومتری است.

۹- نتیجه‌گیری

احتراق پیش مخلوط متان-هوای در داخل یک مشعل محیط متخلف برای حالت دو بعدی و به صورت عددی مورد مطالعه قرار گرفته است و به صورت همزمان تأثیرات نسبت هوای اضافی و سینتیک شیمیایی بر روی پروفیل‌های دما و کسر جرمی آلاینده‌ها مورد بررسی قرار گرفته است. مطابقت نسبتاً خوبی بین نتایج آزمایشگاهی و حل

Evaluation of Combustion in Porous Media by EGM (Entropy Generation Minimization), Energy, (2010) 35 3500-3483.

[10] V.K. Pantangi, S.C. Mishra, P. Muthukumar, R. Reddy, Studies on Porous Radiant Burners for LPG (liquefied petroleum gas) Cooking Applications, Energy, (2011) 36 6080-6074.

[11] P. Muthukumar, P. Anand, P. Sachdeva, Performance Analysis of Porous Radiant Burners Used in LPG Cooking Stove, International Journal of Energy and Environment, 74-67 (2011) 2.

[12] I. Mohammadi, S. Hossainpour, The Effects of Chemical Kinetics and Wall Temperature on the Performance of Porous Media Burners, Heat and Mass Transfer, (2013) 49 877-869.

[13] I. Mohammadi, S. Hossainpour, Investigation of the Effects of Several Porosity Variation Profiles on Performance and Pollutants Emission of the Porous Media Burners, Fire and Materials, 17-3 (2014) 40.

[14] C.Y. Wu, K.H. Chen, S.Y. Yang, Experimental Study of Porous Metal Burners for Domestic Stove Applications, Energy Conversion and Management, 388-380 (2014) 77.

[15] S.A. Hashemi, M. Dastmalchi, M. Nikfar, Experimental Study Flashback Phenomenon in Porous Ceramic, Amirkabir Journal of Science & Research (Mechanical Engineering), 35-25 (2014) 46.

[16] S.A. Hashemi, E. Noori, A. Aghaei, Experimental Study of Non-Premixed Turbulent Flame Stabilization with Porous Medium, Modares Mechanical Engineering, 15 349-341 (2015).

[17] H. Shabani Nejad, A. Gandjalikhan Nassab, E. Jahanshahi Javaran, Numerical Study on Radiant Efficiency of a Porous Burner under Different Conditions, Journal of Thermophysics and Heat Transfer, 8-1 (2017) 32.

[18] N. Donald A, A. Bejan, Convection in Porous Media, Third ed., Springer-Verlag, NewYork, 2006.

[19] M. Farzaneh, R. Ebrahimi, M. Shams, M. Shafiey, Two-Dimensional Numerical Simulation of Combustion and Heat Transfer in Porous Burners, Engineering Letters, 375-370 (2007) (2)15.

محاسبات دارید می‌توان بهترین مکانیزم را انتخاب نمود.
۶- در شرایط استوکیومتری میزان انتشار مونو اکسید نیتروژن با استفاده از مکانیزم احتراقی GRI-۳/۰ مقدار صفر پیش‌بینی می‌شود و برای بقیه ضرایب نسبت هوای اضافی مقدار آن از مرتبه بزرگی 10^{-6} خواهد بود.

منابع

- [1] G. Brenner, K. pickenacker, O. Pickenacker, D. Trimis, K. Wawrzinek, T. Weber, Numerical and Experimental Investigation of Matrix Stabilized Methane-Air Combustion in Porous Inert Media, Combustion and Flame, 213-201 (2000) 123.
- [2] I. Malico, J. Pereira, Numerical Study on the Influence of Radiative Properties in Porous Media Combustion, Journal of Heat Transfer 957-951 (2001) 123.
- [3] C.-J. Tseng, Effect of Hydrogen Addition on Methane Combustion in a Porous Medium Burner, International Journal of Hydrogen Energy, 707-699 (2002) 27.
- [4] P. Talukdar, S. Mishra, D. Trimis, F. Durst, Heat Transfer Characteristics of a Porous Radiant Burner under the Influence of a 2D Radiation Field, Journal of Quantitative Spectroscopy & Radiative Transfer, 537-527 (2003) (4)84.
- [5] S.C. Mishra, M. Steven, S. Nemoda, P. Talukdar, D. Trimis, F. Durst, Heat Transfer Analysis of a Two-Dimensional Rectangular Porous Radiant Burner, International Communication in Heat and Mass Transfer, (2006) 33 474-467.
- [6] K. Lari, S.A. Ganjalikhan nassab, Transient Thermal Characteristics of Porous Radiant Burners, Iranian Journal of Science and Technology, transaction b-engineering, 31 420-407 (2007).
- [7] S. Hossainpour, B. Haddadi, Numerical Study of the Effects of Porous Burner Parameters on Combustion and Pollutants Formation in: Proceedings of the World Congress on Engineering, 2008, pp. 1510-1505.
- [8] F. Avdic, M. Adzic, F. Durst, Small Scale Porous Medium Combustion System for Heat Production in Households Application, Energy, 2155-2148 (2010) 87.
- [9] M. Bidi, M.R.H. Nobari, M. Saffar Aval, A Numerical

- Combined Cycle and Cogenerative Plants, Engineering Optimization, 820-801 (2006) 38.
- [29] H.L. Pan, O. Pickenacker, K. Pickenacker, D. Trimis, T. Weber, in: 5th European Conference on Industrial Furnaces and Boilers, 2000, pp. 14-11.
- [30] E.U. Schlünder, E. Tsotsas, Wärmeübertragung in Festbetten, durchmischten Schüttgütern und Wirbelschichten, Georg Thieme Verlag, Stuttgart- New York, 1988.
- [31] K. Vafai, Handbook of Porous Media, Second ed., Taylor & Francis Group, LLC USA, 2005.
- [32] C.T. Bowman, R.K. Hanson, D.F. Davidson, W.C. Gardiner, J. Lissianski, V., G.P. Smith, D.M. Golden, M. Frenklach, M. Goldenberg, http://www.me.berkeley.edu/gri_mech/.
- [33] P.N. Brown, G.D. Byrne, A.C. Hindmarsh, VODE: A Variable Coefficient ODE Solver, SIAM Journal on Scientific and Statistical Computing, 1051-1038 (1989) 10.
- [34] R.J. Kee, G. Dixon-Lewis, J. Warnatz, M.E. Coltrin, J.A. Miller, A Fortran Computer Code Package for the Evaluation of Gas-Phase Multi-Component Transport Properties, Sandia National Laboratories Report SAND-86 1986) ,8246).
- [35] F. Durst, D. Trimis, Compact Porous Medium Burner and Heat Exchanger for Household Applications, EC project report (contract no. JOE-3CT1996) ,(0019-95).
- [36] GRI-Mech Home page,<http://www.me.berkeley.edu/gri-mech>.
- [20] I. Malico, X.Y. Zhou, J.C.F. Pereira, Two-Dimensional Numerical Study of Combustion and Pollutants Formation in Porous Burners, Combustion Science and Technology, 79-57 (2000) 152.
- [21] S. Nemoda, D. Trimis, G. Zivkovich, Numerical Simulation of Porous Burners and Hole Plate surface Burners, Journal of Thermal Science, 17-3 (2004) 8.
- [22] S. Ergun, Fluid Flow through Packed Columns, Chemical Engineering Progress, 94-89 (1952) 48.
- [23] I.F. MacDonald, M.S. El-Sayed, K. Mow, F.A.L. Dullien, Flow through Porous Media Ergun Equation Revisited, Industrial & Engineering Chemistry Fundamentals, (1979) 18 208-199.
- [24] X. Fu, R. Viskanta, J.P. Gore, Measurement and Correlation of Volumetric Heat Transfer Coefficients of Cellular Ceramics, Experimental Thermal, and Fluid Science, 293-285 (1998) 17.
- [25] M. Kaviany, Principles of Heat Transfer in Porous Media, Second ed., Springer-Verlag, New York, 1999.
- [26] R. Viskanta, Interaction of combustion and heat transfer in porous inert media, in: Proceeding of 8th International Symposium on Transport Phenomena in Combustion, 1996, pp. 87-64.
- [27] L.B. Younis, R. Viskanta, Experimental Determination of the Volumetric Heat Transfer Coefficient between Steam of Air and Ceramic Foam, International journal of Heat Mass Transfer, 1434-1425 (1993) 36.
- [28] L.A. Catalano, A. Dadone, D. Manodoro, A. Saponaro, Efficient Design Optimization of Duct-Burners for

چگونه به این مقاله ارجاع دهیم

I. Mohammadi, H. Ajam, Evaluation of combustion models in porous medium with different excess air ratios, Amirkabir J. Mech Eng., 53(1) (2021) 65-80.

DOI: [10.22060/mej.2019.15713.6187](https://doi.org/10.22060/mej.2019.15713.6187)

